(19) **日本国特許庁(JP)**

(12) 公 開 特 許 公 報(A)

(11)特許出願公開番号

特開2020-35567 (P2020-35567A)

(43) 公開日 令和2年3月5日(2020.3.5)

| (51) Int.Cl. | | | F I | | | テーマコート | : (参考) |
|--------------|-------|-----------|---------|--------|----------|-----------|--------|
| H05B | 33/10 | (2006.01) | HO5B | 33/10 | | 3 K 1 O 7 | |
| HO1L | 27/32 | (2006.01) | HO1L | 27/32 | | 4KO3O | |
| HO1L | 51/50 | (2006.01) | но 5 В | 33/14 | A | 5CO94 | |
| H05B | 33/02 | (2006.01) | HO5B | 33/02 | | 5G435 | |
| H05B | 33/04 | (2006.01) | HO5B | 33/04 | | | |
| | | | 審査請求 未請 | 青求 請求項 | の数 19 OL | (全 29 頁) | 最終頁に続く |

(21) 出願番号 (22) 出願日 特願2018-159097 (P2018-159097) 平成30年8月28日 (2018.8.28) (71) 出願人 000004215

株式会社日本製鋼所

東京都品川区大崎一丁目11番1号

(74)代理人 110002066

特許業務法人筒井国際特許事務所

(72) 発明者 松本 竜弥

神奈川県横浜市金沢区福浦2丁目2番1号

株式会社日本製鋼所内

(72) 発明者 鷲尾 圭亮

神奈川県横浜市金沢区福浦2丁目2番1号

株式会社日本製鋼所内

F ターム (参考) 3K107 AA01 BB01 CC23 CC25 CC27

CC33 CC43 DD17 EE48 EE50

FF15 GG03 GG28

最終頁に続く

(54) 【発明の名称】表示装置の製造方法および表示装置

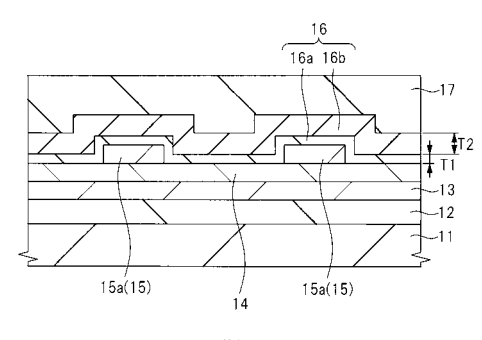
(57)【要約】

【課題】有機EL素子を有する表示装置の信頼性を向上 させる

【解決手段】有機EL素子を有する表示装置の製造方法は、フレキシブル基板からなる基板11上に有機EL素子を形成する工程と、有機EL素子を覆うように、無機絶縁材料からなる保護膜16を形成する工程と、を含む。保護膜16を形成する工程は、有機EL素子を覆うように、絶縁膜16aをリモートプラズマALD法を用いて形成する工程と、絶縁膜16a上に絶縁膜16bをダイレクトプラズマALD法を用いて形成する工程と、を有する。絶縁膜16aおよび絶縁膜16bからなる積層膜により、保護膜16が形成され、絶縁膜16aと絶縁膜16bとは、構成元素が互いに同じである。

【選択図】図3

⊠ 3



11:基板 16:保護膜 16a,16b:絶縁膜

【特許請求の範囲】

【請求項1】

以下の工程を含む、有機EL素子を有する表示装置の製造方法:

- (a)フレキシブル基板上に前記有機 EL素子を形成する工程;
- (b)前記有機 E L 素子を覆うように、無機絶縁材料からなる保護膜を形成する工程; ここで、前記(b)工程は、
- (c)前記有機 E L 素子を覆うように、第1 絶縁膜をリモートプラズマ A L D 法を用いて形成する工程、
- (d)前記第1絶縁膜上に、第2絶縁膜をダイレクトプラズマALD法を用いて形成する工程、

を有し、

前記第1 絶縁膜および前記第2 絶縁膜からなる積層膜により、前記保護膜が形成され、前記第1 絶縁膜と前記第2 絶縁膜とは、構成元素が互いに同じである。

【請求項2】

前記第2絶縁膜の厚さは、前記第1絶縁膜の厚さよりも厚い、請求項1記載の表示装置の製造方法。

【請求項3】

前記第1絶縁膜の厚さは、10nm以上である、請求項2記載の表示装置の製造方法。

【請求項4】

前記第1絶縁膜の厚さは、20nm以下である、請求項3記載の表示装置の製造方法。

【請求項5】

前記保護膜の厚さは、100nm以下である、請求項4記載の表示装置の製造方法。

【請求項6】

前記第 1 絶縁膜および前記第 2 絶縁膜は、酸化シリコン、窒化シリコン、酸窒化シリコン、酸化チタン、酸化ジルコニウム、酸化アルミニウム、酸窒化アルミニウムまたは窒化アルミニウムからなる、請求項 1 記載の表示装置の製造方法。

【請豕項7】

前記第1絶縁膜および前記第2絶縁膜は、酸化アルミニウムまたは酸化シリコンからなる、請求項1記載の表示装置の製造方法。

【請求項8】

前記(b)工程では、前記有機 EL素子が形成された前記フレキシブル基板が成膜装置のチャンバ内に配置された状態で、前記保護膜が形成され、

前記(c)工程では、

- (c 1)前記チャンバ内に第1原料ガスを供給する工程、
- (c 2) 前記(c 1) 工程後、前記チャンバ内に第1パージガスを供給する工程、
- (c 3) 前記(c 2) 工程後、前記チャンバ外のプラズマ生成部で第 1 反応ガスのプラズマを生成し、前記プラズマ生成部で生成された前記第 1 反応ガスのプラズマを、前記チャンバ内に供給する工程、
 - (c 4) 前記(c 3) 工程後、前記チャンバ内に第2パージガスを供給する工程、

を複数サイクル繰り返すことにより、前記第1絶縁膜が形成され、

前記(d)工程では、

- (d 1) 前記チャンバ内に第 2 原料ガスを供給する工程、
- (d 2) 前記(d 1) 工程後、前記チャンバ内に第3パージガスを供給する工程、
- (d3)前記(d2)工程後、前記チャンバ内に第2反応ガスを供給し、前記チャンバ内で前記第2反応ガスのプラズマを生成する工程、
 - (d 4) 前記(d 3) 工程後、前記チャンバ内に第 4 パージガスを供給する工程、

を複数サイクル繰り返すことにより、前記第2絶縁膜が形成される、請求項1記載の表示装置の製造方法。

【請求項9】

前記第1原料ガスと前記第2原料ガスとは、互いに同じであり、

50

10

20

30

前記第1反応ガスと前記第2反応ガスとは、互いに同じである、請求項8記載の表示装 置の製造方法。

【請求項10】

前記(b)工程では、前記有機EL素子が形成された前記フレキシブル基板が、前記チ ャンバ内の第1電極と第2電極との間に配置された状態で、前記保護膜が形成され、

前記(d3)工程では、前記第1電極と第2電極との間に高周波電力が印加されること により、前記第2反応ガスのプラズマが生成され、

前記(c3)工程では、前記第1電極と第2電極との間には、高周波電力は印加されな い、請求項8記載の表示装置の製造方法。

【請求項11】

前記(b)工程後に、

(e) 前記保護膜上に、樹脂膜を形成する工程、

を更に有する、請求項1記載の表示装置の製造方法。

【請求項12】

フレキシブル基板と、

前記フレキシブル基板上に形成された有機EL素子と、

前記有機EL素子を覆うように形成された、無機絶縁材料からなる保護膜と、

を有する表示装置であって、

前記保護膜は、リモートプラズマALD法により形成された第1絶縁膜と、前記第1絶 縁膜上にダイレクトプラズマALD法により形成された第2絶縁膜との積層膜からなり、 前記第1絶縁膜と前記第2絶縁膜とは、構成元素が互いに同じである、表示装置。

前記第2絶縁膜の厚さは、前記第1絶縁膜の厚さよりも厚い、請求項12記載の表示装 置。

【請求項14】

前記第1絶縁膜の厚さは、10nm以上である、請求項13記載の表示装置。

前記第1絶縁膜の厚さは、20nm以下である、請求項14記載の表示装置。

【請求項16】

前記保護膜の厚さは、100nm以下である、請求項15記載の表示装置。

【請求項17】

前 記 第 1 絶 縁 膜 お よ び 前 記 第 2 絶 縁 膜 は 、 酸 化 シ リ コ ン 、 窒 化 シ リ コ ン 、 酸 窒 化 シ リ コ ン、酸化チタン、酸化ジルコニウム、酸化アルミニウム、酸窒化アルミニウムまたは窒化 アルミニウムからなる、請求項12記載の表示装置。

【請求項18】

前 記 第 1 絶 縁 膜 お よ び 前 記 第 2 絶 縁 膜 は 、 酸 化 ア ル ミ ニ ウ ム ま た は 酸 化 シ リ コ ン か ら な る、請求項12記載の表示装置。

【請求項19】

前記保護膜上に形成された樹脂膜を更に有する、請求項12記載の表示装置。

【発明の詳細な説明】

【技術分野】

[0001]

本発明は、表示装置の製造方法および表示装置に関し、例えば、有機EL表示装置の製 造方法および有機EL表示装置に好適に利用できるものである。

【背景技術】

[00002]

発光素子として、エレクトロルミネッセンスを利用した有機エレクトロルミネッセンス 素子(organic electroluminescence device)の開発が進められている。なお、有機エレ クトロルミネッセンス素子は、有機EL素子と称される。エレクトロルミネッセンスとは 、物質に電圧を印加した際に発光する現象であり、特に、このエレクトロルミネッセンス 10

20

30

40

を有機物質で生じさせる素子を有機 E L 素子(有機エレクトロルミネッセンス素子)と呼ぶ。有機 E L 素子は、電流注入型デバイスであり、かつ、ダイオード特性を示すため、有機発光ダイオード(Organic Light Emitting Diode: O L E D)とも呼ばれる。

[0003]

特開2015-206076号(特許文献1)には、CVD法によって封止膜を形成する技術が記載されている。特開2003-163082号公報(特許文献2)には、リモートプラズマCVDに関する技術が記載されている。国際公開第2013/151095号(特許文献3)には、プラズマCVD法を用いて保護膜を形成する技術が記載されている。

【先行技術文献】

10

【特許文献】

[0004]

【特許文献1】特開2015-206076号公報

【特許文献2】特開2003-163082号公報

【特許文献3】国際公開第2013/151095号

【発明の概要】

【発明が解決しようとする課題】

[00005]

有機 E L 素子は、水分に弱いため、有機 E L 素子を覆うように保護膜を形成して、有機 E L 素子への水分の伝達を防ぐことが望ましい。このため、有機 E L 素子を用いた表示装置においても、保護膜が使用される。そのような保護膜を用いた表示装置において、信頼性を向上させることが望まれる。

20

[0006]

その他の課題と新規な特徴は、本明細書の記述および添付図面から明らかになるであろう。

【課題を解決するための手段】

[0007]

一実施の形態によれば、有機 E L 素子を有する表示装置の製造方法は、(a)フレキシブル基板上に前記有機 E L 素子を形成する工程、(b)前記有機 E L 素子を覆うように、無機絶縁材料からなる保護膜を形成する工程、を含む。前記(b)工程は、(c)前記有機 E L 素子を覆うように、第 1 絶縁膜をリモートプラズマALD法を用いて形成する工程

30

(d)前記第1絶縁膜上に、第2絶縁膜をダイレクトプラズマALD法を用いて形成する工程、を有する。前記第1絶縁膜および前記第2絶縁膜からなる積層膜により、前記保護膜が形成され、前記第1絶縁膜と前記第2絶縁膜とは、構成元素が互いに同じである。

【発明の効果】

[00008]

一実施の形態によれば、有機 E L 素子を有する表示装置の信頼性を向上させることができる。

【図面の簡単な説明】

40

[0009]

【図1】一実施の形態の表示装置の全体構成を示す平面図である。

【図2】一実施の形態の表示装置の要部平面図である。

【図3】一実施の形態の表示装置の要部断面図である。

【図4】表示装置の基板としてフレキシブル基板を用い、そのフレキシブル基板 (表示装置)を折り曲げた場合を模式的に示す断面図である。

【図5】一実施の形態の表示装置の製造工程を示す工程フロー図である。

【図6】一実施の形態の表示装置の製造工程のうちの、保護膜形成工程を示す工程フロー図である。

【図7】一実施の形態の表示装置の製造工程中の要部断面図である。

- 【図8】図7に続く表示装置の製造工程中の要部断面図である。
- 【図9】図8に続く表示装置の製造工程中の要部断面図である。
- 【図10】図9に続く表示装置の製造工程中の要部断面図である。
- 【図11】図10に続く表示装置の製造工程中の要部断面図である。
- 【図12】図11に続く表示装置の製造工程中の要部断面図である。
- 【図13】図12に続く表示装置の製造工程中の要部断面図である。
- 【図14】保護膜形成用の成膜装置の一例を示す説明図である。
- 【図 1 5 】リモートプラズマALDを用いた絶縁膜の形成工程を示す、工程フロー図である。
- 【図16】ダイレクトプラズマALD法を用いた絶縁膜の形成工程を示す、工程フロー図である。
- 【図17】パーティクルの付着に関連する課題を説明する説明図である。
- 【 図 1 8 】パーティクルの付着に関連する課題を説明する説明図である。
- 【図19】パーティクルの付着に関連する課題を説明する説明図である。
- 【図20】第1検討例の表示装置の要部断面図である。
- 【図21】第2検討例の表示装置の要部断面図である。
- 【発明を実施するための形態】
- [0010]

以下、実施の形態を図面に基づいて詳細に説明する。なお、実施の形態を説明するための全図において、同一の機能を有する部材には同一の符号を付し、その繰り返しの説明は省略する。また、以下の実施の形態では、特に必要なとき以外は同一または同様な部分の説明を原則として繰り返さない。

[0011]

(実施の形態)

<表示装置の全体構造について>

本実施の形態の表示装置は、有機 E L 素子を利用した有機 E L 表示装置(有機エレクトロルミネッセンス表示装置)である。本実施の形態の表示装置を、図面を参照して説明する。

[0012]

図1は、本実施の形態の表示装置1の全体構成を示す平面図である。

[0013]

図1に示される表示装置1は、表示部2と、回路部3とを有している。表示部2には、複数の画素がアレイ状に配列されており、画像の表示を可能としている。回路部3には、必要に応じて種々の回路が形成されており、例えば、駆動回路または制御回路などが形成されている。回路部3内の回路は、必要に応じて、表示部2の画素に接続されている。回路部3は、表示装置1の外部に設けることもできる。表示装置1の平面形状は、種々の形状を採用できるが、例えば矩形状である。

[0014]

図2は、表示装置1の要部平面図であり、図3は、表示装置1の要部断面図である。図2には、表示装置1の表示部2の一部(図1に示される領域4)を拡大して示してある。図3は、図2のA1-A1線の位置での断面図にほぼ対応している。

[0015]

表示装置1のベースを構成する基板11は、絶縁性を有している。また、基板11は、フレキシブル基板(フィルム基板)であり、可撓性を有している。このため、基板11は、絶縁性を有するフレキシブル基板、すなわちフレキシブル絶縁基板である。基板11は、更に透光性を有する場合もあり得る。基板11として、例えばフィルム状のプラスチック基板(プラスチックフィルム)を用いることができる。基板11は、図1の表示装置1の平面全体に存在しており、表示装置1の最下層を構成している。このため、基板11の平面形状は、表示装置1の平面形状とほぼ同じであり、種々の形状を採用できるが、例えば矩形状とすることができる。なお、基板11の互いに反対側に位置する2つの主面のう

10

20

30

40

ち、有機 E L 素子が配置される側の主面、すなわち後述のパッシベーション膜 1 2 、電極層 1 3 、有機層 1 4 、電極層 1 5 および保護膜 1 6 を形成する側の主面を、基板 1 1 の上面と称することとする。また、基板 1 1 における上面とは反対側の主面を、基板 1 1 の下面と称することとする。

[0016]

基板11の上面上には、パッシベーション膜(パッシベーション層)12が形成されている。パッシベーション膜12は、絶縁材料(絶縁膜)からなり、例えば酸化シリコン膜からなる。パッシベーション膜12は、形成しない場合もあり得るが、形成した方がより好ましい。パッシベーション膜12は、基板11の上面のほぼ全体にわたって形成することができる。

[0017]

パッシベーション膜12は、基板11側から有機EL素子(特に有機層14)への水分の伝達を防止(遮断)する機能を有している。このため、パッシベーション膜12は、有機EL素子の下側の保護膜として機能することができる。一方、保護膜16は、有機EL素子の上側の保護膜として機能することができ、上側から有機EL素子(特に有機層14)への水分の伝達を防止(遮断)する機能を有している。

[0018]

基板11の上面上には、パッシベーション膜12を介して、有機EL素子が形成されている。有機EL素子は、電極層13と有機層14と電極層15とからなる。つまり、基板11上のパッシベーション膜12上には、電極層13と有機層14と電極層15とが、下から順に形成(積層)されており、これら電極層13と有機層14と電極層15とにより、有機EL素子が形成されている。

[0019]

電極層13は、下部電極層であり、電極層15は、上部電極層である。電極層13は、 陽極および陰極のうちの一方を構成し、電極層15は、陽極および陰極のうちの他方を構成する。すなわち、電極層13が陽極(陽極層)の場合は、電極層15は陰極(陰極層) であり、電極層13が陰極(陰極層)の場合は、電極層15は陽極(陽極層)である。電 極層13および電極層15は、それぞれ導電膜からなる。

[0020]

電極層13および電極層15のうちの一方は、反射電極として機能できるように、アルミニウム(A1)膜などの金属膜により形成することが好ましく、また、電極層13および電極層15のうちの他方は、透明電極として機能できるように、ITO(インジウムスズオキサイド)などからなる透明導体膜により形成することが好ましい。基板11の下面側から光を取出す、いわゆるボトムエミッション方式を採用する場合は、電極層13を透明電極とすることができ、基板11の上面側から光を取出す、いわゆるトップエミッション方式を採用する場合は、電極層15を透明電極とすることができる。また、ボトムエミッション方式を採用する場合は、基板11として透光性を有する透明基板(透明フレキシブル基板)を用いることができる。

[0021]

基板11上のパッシベーション膜12上に電極層13が形成され、電極層13上に有機層14が形成され、有機層14上に電極層15が形成されているため、電極層13と電極層15との間には、有機層14が介在している。

[0022]

有機層14は、少なくとも有機発光層を含んでいる。有機層14は、有機発光層以外に も、ホール輸送層、ホール注入層、電子輸送層および電子注入層のうちの任意の層を、必 要に応じて更に含むことができる。このため、有機層14は、例えば、有機発光層の単層 構造、ホール輸送層と有機発光層と電子輸送層との積層構造、あるいは、ホール注入層と ホール輸送層と有機発光層と電子輸送層と電子注入層との積層構造などを有することがで きる。

[0023]

10

20

30

40

電極層13は、例えば、X方向に延在するストライプ状のパターンを有している。すなわち、電極層13は、X方向に延在するライン状の電極(電極パターン)13aが、Y方向に所定の間隔で複数配列した構成を有している。電極層15は、例えば、Y方向に延在するストライプ状のパターンを有している。すなわち、電極層15は、Y方向に延在するライン状の電極(電極パターン)15aが、X方向に所定の間隔で複数配列した構成を有している。つまり、電極層13は、X方向に延在するストライプ状の電極群からなり、電極層15は、Y方向に延在するストライプ状の電極群からなる。ここで、X方向とY方向とは、互いに交差する方向であり、より特定的には、互いに直交する方向である。また、X方向およびY方向は、基板11の上面に略平行な方向でもある。

[0024]

電極層15を構成する各電極15aの延在方向はY方向であり、電極層13を構成する各電極13aの延在方向はX方向であるため、電極15aと電極13aとは、平面視において互いに交差している。なお、平面視とは、基板11の上面に略平行な平面で見た場合を言うものとする。電極15aと電極13aとの各交差部においては、電極15aと電極13aとで有機層14が上下に挟まれた構造を有している。このため、電極15aと電極13aとの各交差部に、電極15aと電極13a,15a間の有機層14をで構成される有機EL素子(画素を構成する有機EL素子)が形成され、その有機EL素子により画素が形成される。電極15aと電極13aとの間に所定の電圧が印加されることで、その電極15a,電極13aと電極13aとの間に所定の電圧が印加されることで、その電極15a,電極13a間に挟まれた部分の有機層14中の有機発光層が発光することができる。すなわち、各画素を構成する有機EL素子が発光することができる。電極15aが、有機EL素子の上部電極(陽極または陰極の他方)として機能する。

[0025]

なお、有機層14は、表示部2全体にわたって形成することもできるが、電極層13と同じパターン(すなわち電極層13を構成する複数の電極13aと同じパターン)として形成することもでき、あるいは、電極層15と同じパターン(すなわち電極層15を構成する複数の電極15aと同じパターン)として形成することもできる。いずれにしても、電極層13を構成する複数の電極13aと電極層15を構成する複数の電極15aとの各交点には、有機層14が存在している。

[0026]

このように、平面視において、表示装置1の表示部2では、平面視において、基板11 上に有機EL素子(画素)がアレイ状に複数配列した状態になっている。

[0027]

なお、ここでは、電極層13,15がストライプ状のパターンを有している場合について説明した。このため、アレイ状に配列した複数の有機EL素子(画素)において、X方向に並んだ有機EL同士では、下部電極(電極13a)同士が繋がっており、また、Y方向に並んだ有機EL同士では、上部電極(電極15a)同士が繋がっている。しかしながら、これに限定されず、アレイ状に配列する有機EL素子の構造は、種々変更可能である

[0028]

例えば、アレイ状に配列した複数の有機EL素子が、上部電極でも下部電極でも互いにつながっておらず、独立に配置されている場合もあり得る。この場合は、各有機EL素子は、下部電極と有機層と上部電極との積層構造を有する孤立パターンにより形成され、この孤立した有機EL素子が、アレイ状に複数配列することになる。この場合は、各画素において有機EL素子に加えてTFT(薄膜トランジスタ)などのアクティブ素子を設けるとともに、画素同士を必要に応じて配線を介して接続することができる。

[0 0 2 9]

基板11(パッシベーション膜12)の上面上には、有機EL素子を覆うように、従って電極層13と有機層14と電極層15とを覆うように、保護膜(保護層)16が形成されている。表示部2に有機EL素子がアレイ状に配列している場合は、それらアレイ状に

10

20

30

40

配列した有機EL素子を覆うように、保護膜16が形成されている。このため、保護膜16は、表示部2全体に形成されていることが好ましく、また、基板11の上面のほぼ全体上に形成されていることが好ましい。有機EL素子(電極層13、有機層14および電極層15)を保護膜16により覆うことで、有機EL素子(電極層13、有機層14および電極層15)を保護し、また、有機EL素子への水分の伝達、特に有機層14への水分の伝達を、保護膜16によって防止(遮断)することができる。すなわち、保護膜16を設けたことで、保護膜16を越えて有機EL素子側に水分が侵入するのを防止することができる。保護膜16は、有機EL素子用の保護膜である。

[0030]

但し、電極または配線などの一部を、保護膜16から露出させる必要がある場合もあり得る。そのような場合は、基板11の上面側の全領域に保護膜16を形成するのではなく、基板11の上面側の一部に保護膜16が形成されない領域を設けておき、そこ(保護膜16が形成されていない領域)から、電極または配線などの一部を露出させることもできる。但し、そのような場合でも、保護膜16を形成していない領域から、有機層14は露出しないようにすることが好ましい。

[0031]

保護膜16は、水分に対するバリア性を得られるように、無機絶縁材料により構成されている。すなわち、保護膜16は、無機絶縁膜である。また、保護膜16は、ALD(Atomic Layer Deposition:原子層堆積)法で形成された絶縁膜、すなわちALD膜である。ALD法は、原料ガスと反応ガスとを交互に供給することにより、処理対象物上に原子層単位で膜を形成する成膜方法である。保護膜16の材料としては、酸化シリコン、窒化シリコン、酸空化シリコン、酸化チタン、酸化ジルコニウム、酸化アルミニウム、酸空化アルミニウムまたは窒化アルミニウムが好ましく、そのうち特に好ましいのは、酸化アルミニウムまたは酸化シリコンである。

[0032]

本実施の形態では、保護膜16は、リモートプラズマALD法により形成された絶縁膜(無機絶縁膜、絶縁層)16aと、絶縁膜16a上にダイレクトプラズマALD法により形成された絶縁膜(無機絶縁膜、絶縁層)16bとの積層膜からなる。すなわち、保護膜16は、絶縁膜16aと絶縁膜16bとの2つの層を有している。絶縁膜16bは、絶縁膜16a上に、絶縁膜16aに接するように形成されている。

[0033]

なお、保護膜16を構成する絶縁膜16aと絶縁膜16bとは、構成元素が互いに同じである。すなわち、保護膜16は、絶縁膜16aと絶縁膜16a上の絶縁膜16bとからなるが、それらの絶縁膜16a,16bは、互いに同じ材料により構成されている。このため、例えば、保護膜16を構成する絶縁膜16aが酸化アルミニウムからなる場合は、保護膜16を構成する絶縁膜16bも酸化アルミニウムからなる。また、保護膜16を構成する絶縁膜16bも酸化シリコンからなる場合は、保護膜16を構成する絶縁膜16bも酸化シリコンからなる。このため、保護膜16は、全体が同じ材料により形成されている。

[0034]

保護膜16上には、保護膜16とは異なる材料からなる絶縁膜17が形成されている。 絶縁膜17は、好ましくは樹脂膜(樹脂層、樹脂絶縁膜、有機絶縁膜)であり、絶縁膜1 7の材料として、例えばPET(polyethylene terephthalate:ポリエチレンテレフタレート)などを好適に用いることができる。絶縁膜17は、その形成を省略することもできる。但し、絶縁膜17を形成しない場合よりも、絶縁膜17を形成した場合の方が、有利な場合がある。

[0035]

保護膜16は、無機絶縁膜である。無機絶縁膜は、水分を通しにくい膜であるが、硬い膜でもある。このため、保護膜16上に、樹脂膜(絶縁膜17)を形成することもでき、この樹脂膜(絶縁膜17)を、表示装置1の最上層の膜として用いることもできる。樹脂

10

20

30

40

膜(絶縁膜17)は、無機絶縁膜(保護膜16)に比べて、水分を通しやすいため、水分の侵入を防止する膜としての機能は小さい。しかしながら、樹脂膜(絶縁膜17)は、無機絶縁膜(保護膜16)に比べて、柔らかい。このため、保護膜16上に柔らかい樹脂膜(絶縁膜17)を形成することで、表示装置1を取り扱いやすくなる。また、樹脂膜(絶縁膜17)は、物理的な衝撃からの保護膜(機械的保護膜)として機能することができる。また、基板11としてフレキシブル基板を用いる場合には、保護膜16上に樹脂膜(絶縁膜17)を形成することで、曲げに伴う保護膜16の割れ(クラック)を、防ぎやすくなる。

[0036]

また、保護膜16上に絶縁膜17を形成した場合、保護膜16と絶縁膜17とを合わせたものを、保護膜とみなすこともできる。但し、樹脂膜からなる絶縁膜17を形成した場合、水分の侵入を防止する膜(水分防止膜)として機能するのは、保護膜16であり、樹脂膜からなる絶縁膜17は、主として、機械的な保護膜として機能する。水分保護膜(ここでは保護膜16)は、無機絶縁物からなり、機械的保護膜(ここでは絶縁膜17)は、樹脂材料(有機絶縁物)からなることが好ましい。

[0037]

本実施の形態では、表示装置1の基板11としてフレキシブル基板を用いている。図4は、表示装置1を構成する基板11(フレキシブル基板)を折り曲げた場合、すなわち、表示装置1を折り曲げた場合を模式的に示す断面図である。図4は、断面図であるが、図面を見やすくするために、ハッチングは省略してある。表示装置1の基板11としてフレキシブル基板を用いることで、表示装置1の折り曲げが可能になる。また、基板11は、フレキシブル基板であるが、繰り返しの折り曲げも可能であり、ベンダブル(bendable)基板とみなすこともでき、また、折りたたむことも可能であり、フォルダブル(foldable)基板とみなすこともできる。このため、基板11は、フレキシブル基板であるが、そのフレキシブル基板には、ベンダブル基板やフォルダブル基板も包括されている。

[0038]

<表示装置の製造方法>

本実施の形態の表示装置1の製造方法について、図面を参照して説明する。図5は、本実施の形態の表示装置1の製造工程を示す、工程フロー図である。図6は、本実施の形態の表示装置1の製造工程のうちの、保護膜16形成工程の詳細を示す、工程フロー図である。図7~図13は、本実施の形態の表示装置1の製造工程中の要部断面図であり、上記図3に相当する領域の断面図が示されている。なお、ここでは、主として、表示装置1の表示部2の製造工程を説明する。

[0039]

まず、図7に示されるように、ガラス基板9とフレキシブル基板である基板11とが貼り合わされた基板10を用意(準備)する(図5のステップS1)。基板11は可撓性を有しているが、基板11がガラス基板9に貼り合わされていることで、基板11はガラス基板9に固定される。これにより、基板11上への各種の膜の形成やその膜の加工などが容易になる。なお、基板11の下面が、ガラス基板9に貼り付けられている。

[0040]

次に、図 8 に示されるように、基板 1 0 の上面上に、パッシベーション膜 1 2 を形成する(図 5 のステップ S 2)。なお、基板 1 0 の上面は、基板 1 1 の上面と同義である。

[0041]

パッシベーション膜12は、スパッタリング法、CVD法またはALD法などを用いて 形成することができる。パッシベーション膜12は、絶縁材料からなり、例えば酸化シリコン膜からなる。例えば、CVD法により形成した酸化シリコン膜を、パッシベーション膜12として好適に用いることができる。

[0042]

次に、図9に示されるように、基板10の上面上に、すなわちパッシベーション膜12上に、電極層13と電極層13上の有機層14と有機層14上の電極層15とからなる有

10

20

30

40

機 E L 素子を形成する。すなわち、パッシベーション膜 1 2 上に、電極層 1 3 と有機層 1 4 と電極層 1 5 とを順に形成する(図 5 のステップ S 3 , S 4 , S 5)。この工程は、例えば、次のようにして行うことができる。

[0043]

すなわち、基板10の上面上に、すなわちパッシベーション膜12上に、電極層13を形成する(図5のステップS3)。電極層13は、例えば、導電膜をパッシベナンが技術などを用いてから、この導電膜を、フォトリソグラフィ技術およびエッチング技術などを用いてパターニングすることなどにより、形成することができる。それから、電極層13と用いた蒸着法(真空蒸着法)などにより、形成することができる。また、有機層14を形成することができる。また、有機層14を形成することができる。また、有機層14を形成することがである。それから、有機層14を形成することも可能である。それから、有機層14を形成することも可能である。また、電極層15年の膜を成膜してからその膜をフォトリソグラフィ技術およびエッチング技術などを用いてパターニングする手法で、電極層15を形成することも可能である。

[0044]

電極層13と有機層14と電極層15とからなる有機EL素子を形成した後、基板10の上面上に、すなわち電極層15上に、保護膜16を形成する(図5のステップS6)。 保護膜16は、有機EL素子を覆うように形成される。

[0045]

保護膜16は、絶縁膜16aと絶縁膜16a上の絶縁膜16bとの積層膜からなるため、ステップS6の保護膜16形成工程は、図6に示されるように、ステップS6aの絶縁膜16a形成工程と、ステップS6bの絶縁膜16b形成工程と、を有している。ステップS6aの後にステップS6bが行われる。

[0046]

このため、ステップS6の保護膜16形成工程は、具体的には次のようにして行うことができる。すなわち、まず、図10に示されるように、基板10上に、すなわち電極層15上に、絶縁膜16aをリモートプラズマALD法を用いて形成する(図6のステップS6a)。絶縁膜16aは、有機EL素子を覆うように形成される。それから、図11に示されるように、絶縁膜16a上に絶縁膜16bを、ダイレクトプラズマALD法を用いて形成する(図6のステップS6b)。これにより、絶縁膜16aと絶縁膜16bとの積層膜からなる保護膜16が形成される。ステップS6bでは、絶縁膜16bは、絶縁膜16aLE、絶縁膜16aに接するように形成される。

[0047]

なお、「リモートプラズマ」とは、成膜用のチャンバ(後述のチャンバ22に対応)の内部でプラズマを発生させるのではなく、チャンバの外部に設けられたプラズマ生成部(後述のリモートプラズマ生成部38に対応)でプラズマを生成し、このプラズマ生成部で生成されたプラズマをチャンバの内部に導入(供給)する構成態様を意味している。

[0048]

また、「ダイレクトプラズマ」とは、成膜用のチャンバ(後述のチャンバ22に対応)の内部でプラズマを発生させ、プラズマを発生させる放電空間(後述の上部電極25とサセプタ24aとの間の空間27に対応)に処理対象物(23)が配置される構成態様を意味している。

[0049]

また、電極または配線などの一部を、保護膜16から露出させる必要がある場合もあり得る。そのような場合は、基板10の上面の全領域に保護膜16を形成するのではなく、基板10の上面の一部に保護膜16が形成されない領域を設けて、そこ(保護膜16が形成されていない領域)から、電極または配線などの一部を露出させることができる。この場合は、ステップS6の保護膜16形成工程は、例えば次のようにして行うことができる

10

20

30

40

。すなわち、まず、基板10上に、すなわち電極層15上に、マスク(メタルマスク)を配置してから、保護膜16を形成し、その後、そのマスクを取り除く。これにより、マスクで覆われずに露出されていた領域には、保護膜16が形成されるが、マスクで覆われていた領域には、保護膜16は形成されない。これにより、有機EL素子を覆うように保護膜16を形成することができるとともに、保護膜16が形成されていない領域から、電極または配線などを必要に応じて露出させることができる。

[0050]

保護膜16を形成すると、電極層13と有機層14と電極層15とからなる有機EL素子は、保護膜16で覆われる。複数の有機EL素子がアレイ状に配列している場合は、それら複数の有機EL素子が保護膜16で覆われる。

[0051]

ステップS6で保護膜16を形成した後、図12に示されるように、基板10の上面上に、すなわち保護膜16上に、絶縁膜17を形成する(図5のステップS7)。保護膜16の最上層は絶縁膜16bであるので、絶縁膜16b上に絶縁膜17が形成される。絶縁膜17は、好ましくは樹脂膜であり、例えばPETなどからなり、スピンコート法(塗布法)などを用いて形成することができる。

[0052]

その後、図13に示されるように、基板11をガラス基板9から引きはがすことにより、基板11とその上面上の構造体とを、ガラス基板9から分離する。このようにして、表示装置1を製造することができる。

[0053]

< 成膜装置について >

図14は、保護膜16形成用の成膜装置21の一例を示す説明図(断面図)である。成膜装置21は、ALD法を用いて成膜を行う成膜装置であり、ALD装置またはALD成膜装置とみなすことができる。また、本実施の形態では、成膜装置21として、プラズマALD装置(プラズマALD成膜装置)を使用し、保護膜16の形成には、ALD法として、プラズマALD法を用いている。プラズマALD装置においては、反応活性を高めるために、プラズマ放電を行って反応ガスをプラズマ化する。このため、プラズマALD装置では、プラズマ放電を行うため、平行平板電極などが使用される。

[0054]

また、本実施の形態では、保護膜16は、リモートプラズマALD法により形成された 絶縁膜16aと、絶縁膜16a上にダイレクトプラズマALD法により形成された絶縁膜 16bとの積層膜からなる。リモートプラズマALD法により形成された絶縁膜16aと 、ダイレクトプラズマALD法により形成された絶縁膜16bとは、同じ成膜装置21で 形成することが好ましい。このため、成膜装置21は、リモートプラズマALD法による 成膜と、ダイレクトプラズマALD法による成膜とが、可能である。

[0055]

図14に示されるように、成膜装置21は、ALD法による成膜が行われるチャンバ(成膜室、成膜容器)22を有している。チャンバ22は、その内部に配置された処理対象物23に対する成膜処理を行うための成膜容器である。

[0056]

チャンバ22は、天板部22aと、底板部(図示せず)と、天板部22aと底板部とを繋ぐ(連結する)側壁部22bと、を有している。天板部22aにより、チャンバ22の上面が形成され、底板部により、チャンバ22の底面が形成され、側壁部22bにより、チャンバ22の側面が形成される。

[0057]

なお、本実施の形態において、「チャンバ22の上面」と言うときは、「チャンバ22の内側(内面)における上面」のことを指し、「チャンバ22の側面」と言うときは、「チャンバ22の内側(内面)における側面」のことを指し、「チャンバ22の底面」と言うときは、「チャンバ22の内側(内面)における底面」のことを指すものとする。

10

20

30

50

[0058]

チャンバ22内には、処理対象物23を搭載(配置)するためのステージ24が配置されている。ステージ24は、処理対象物23を保持するためのサセプタ(基板保持体)24aと、サセプタ24aを支持するステージ本体部24bと、を有している。処理対象物23は、サセプタ24a上に配置されて保持されている。サセプタ24aは、導電性を有している。ステージ24(より特定的にはサセプタ24a)は、下部電極としての機能も有している。また、ステージ24は、ヒータ(図示せず)などを備えており、ステージ24上に配置した処理対象物23を加熱し、処理対象物23の温度を所望の温度に調整することができるようになっている。

[0059]

ここでは、ステージ本体部 2 4 b とサセプタ 2 4 a とを合わせたものをステージ 2 4 と みなしているが、別の見方をすると、ステージ本体部 2 4 b をステージとみなし、そのス テージ上にサセプタ 2 4 a が配置され、そのサセプタ 2 4 a 上に処理対象物 2 3 が搭載さ れるとみなすこともできる。

[0060]

チャンバ22内には、ステージ24(サセプタ24a)の上方に上部電極(平板電極)25が配置されている。上部電極25とサセプタ24aとは、互いに対向し、サセプタ24aの上部電極25に対向する側の主面(上面)上に、処理対象物23が配置される。上部電極25は、サセプタ24aと対向する対向面(下面)を有する。上部電極25は、チャンバ22の天板部22aに支持(保持)されている。上部電極25と、下部電極(ここではサセプタ24a)とにより、平行平板電極が構成される。

[0061]

上部電極 2 5 には、高周波電源 2 6 が電気的に接続されている。高周波電源 2 6 は、チャンバ 2 2 の外に配置することができる。高周波電源 2 6 によって上部電極 2 5 に、従って上部電極 2 5 とステージ 2 4 (より特定的にはサセプタ 2 4 a) との間に、高周波電力を印加することができ、それによって、上部電極 2 5 とステージ 2 4 (より特定的にはサセプタ 2 4 a) との間に、高周波電界を発生させることができる。サセプタ 2 4 a は、好ましくは、接地電位(グランド電位)に接続されている。上部電極 2 5 とステージ 2 4 (サセプタ 2 4 a) との間の空間 2 7 が、ダイレクトプラズマALD法による成膜の際に、プラズマ(プラズマ放電)が生成される空間(放電空間、プラズマ放電空間、プラズマ生成空間)となる。高周波電源 2 6 により印加される高周波電力の周波数は、例えば 1 3 . 5 6 M H z である。

[0062]

チャンバ22の側壁部22bには、チャンバ22内にガスを導入(供給)するための開口部(ガス供給口)28と、チャンバ22内からガスを排気(排出)するための開口部(ガス排気口)29と、が設けられている。チャンバ22の側壁部22bにおいて、開口部28と開口部29とは、上記空間27を挟んで互いに対向する位置に設けられている。具体的には、チャンバ22の側壁部22bは、互いに対向する側面(チャンバの側面)31a,31bを有しており、そのうちの一方の側面31aに開口部28が設けられ、他方の側面31bに開口部29が設けられている。チャンバ22の開口部28には、原料ガス導入経路33と、パージガス導入経路34と、反応ガス導入経路35と、パージガス導入経路36と、ラジカル導入経路37とが接続されている(つながっている)。

[0063]

原料ガス導入経路33は、図示しない原料ガス供給部と接続されており、その原料ガス供給部から、原料ガス導入経路33および開口部28を介して、チャンバ22内に原料ガスを導入(供給)できるようになっている。

[0064]

また、パージガス導入経路34は、図示しないパージガス供給部と接続されており、そのパージガス供給部から、パージガス導入経路34および開口部28を介して、チャンバ22内にパージガスを導入(供給)できるようになっている。

10

20

30

40

[0065]

また、反応ガス導入経路35は、図示しない反応ガス供給部と接続されており、その反応ガス供給部から、反応ガス導入経路35および開口部28を介して、チャンバ22内に反応ガスを導入(供給)できるようになっている。

[0066]

また、パージガス導入経路36は、図示しないパージガス供給部と接続されており、そのパージガス供給部から、パージガス導入経路36および開口部28を介して、チャンバ22内にパージガスを導入(供給)できるようになっている。

[0067]

また、ラジカル導入経路37は、リモートプラズマ生成部(プラズマ生成部、プラズマ供給部、プラズマソース)38と接続されており、リモートプラズマ生成部38で生成されたプラズマ(ラジカル)を、ラジカル導入経路(プラズマ導入経路)37および開口部28を介して、チャンバ22内に導入(供給)できるようになっている。リモートプラズマ生成部38は、リモートプラズマ生成部38に供給された反応ガスをプラズマ化して、その反応ガスのラジカル(活性種)を生成することができる。リモートプラズマ生成部38は、チャンバ22の外部に設けられている。

[0068]

チャンバ22の開口部29は、真空ポンプなどからなる排気部39に接続されており、開口部29を介してチャンバ22内からガスを排気(排出)するとともに、チャンバ22内を所定の圧力に制御できるようになっている。すなわち、チャンバ22内は、真空に維持することもでき、また、所望の圧力に制御することもできる。排気部39は、チャンバ22の外部に設けられている。

[0069]

開口部28から導入されたガスは、チャンバ22内の上記空間27を通って、開口部29から排気される。すなわち、開口部28からチャンバ22内に導入されたガスは、開口部28から開口部29に向けて流れるため、開口部28と開口部29との間にある上記空間27を通過する。このため、成膜処理の際には、上記空間27に、原料ガス、パージガス、反応ガス、または、ラジカルを含むガスを供給する(流す)ことができる。

[0070]

< 成膜工程について >

次に、成膜装置21を用いた保護膜16の形成工程について、説明する。図15は、絶縁膜16aの形成工程を示す、工程フロー図である。図16は、絶縁膜16bの形成工程を示す、工程フロー図である。保護膜16の形成工程は、例えば、次のようにして行うことができる。

[0 0 7 1]

保護膜16形成工程より前の工程を終了した後、保護膜16形成工程を行うために、処理対象物を、成膜装置21のチャンバ22内のステージ24(より特定的にはサセプタ24a)上に配置する。ここで、ステージ24上に配置される処理対象物23は、上記パッシベーション膜12、電極層13、有機層14および電極層15などが形成された基板10であり、基板10上に図9の構造が形成されており、図14では、符号23を付して処理対象物23として示してある。チャンバ22内において、ステージ24上に配置された処理対象物23は、上部電極25とステージ24(サセプタ24a)との間に配置された状態となっている。

[0072]

次に、以下に説明するステップS11、ステップS12、ステップS13およびステップS14を、複数サイクル繰り返すことで、チャンバ22内のステージ24(サセプタ24a)上に配置された処理対象物23の表面上に、絶縁膜16aを所望の厚さに形成することができる。

[0073]

以下、具体的に説明する。

10

20

30

20

30

40

50

[0074]

まず、ステップS11(原料ガス供給ステップ)として、原料ガス供給部(図示せず)から、原料ガス導入経路33および開口部28を介して、チャンバ22内に原料ガスを導入(供給)する。絶縁膜16aとして酸化アルミニウム膜を成膜する場合は、原料ガスとしては、例えばTMA(Trimethylaluminium:トリメチルアルミニウム)ガスを用いることができる。開口部28からチャンバ22内に導入された原料ガスは、主として、上部電極25とステージ24(サセプタ24a)との間の空間27を通って、開口部29から排気される。ステップS11を行うと、ステージ24上に配置された処理対象物23の表面上に、原料ガスの分子が吸着する。すなわち、処理対象物23の表面に、原料ガスの吸着層が形成される。

[0075]

次に、ステップS12(パージステップ)として、チャンバ22内への原料ガスの導入を停止し、パージガス供給部(図示せず)から、パージガス導入経路34および開口部28を介して、チャンバ22内にパージガスを導入(供給)する。パージガスとしては、不活性ガスを好適に用いることができ、窒素ガス(N₂ガス)を用いる場合もあり得る。チャンバ22内にパージガスを導入することで、処理対象物23の表面に吸着していた原料ガス分子(原料ガスの吸着層)は残存するが、それ以外の原料ガス(処理対象物23に吸着していない原料ガス)は、パージガスと一緒に開口部29からチャンバ22外に排出される(パージされる)。開口部28からチャンバ22内に導入されたパージガスは、主として、上部電極25とステージ24(サセプタ24a)との間の空間27を通って、開口部29から排気される。

[0076]

次に、ステップS13(ラジカル供給ステップ)として、リモートプラズマ生成部38で反応ガスのプラズマを生成し、リモートプラズマ生成部38で生成されたプラズマ生成のフラズマ)を、ラジカル導入経路37および開口部28を介して、チャンバ22内に導入(供給)する。すなわち、リモートプラズマ生成部38に反応ガスを供給して、の反応ガスをリモートプラズマ生成部38でプラズマ化し、それによって生成されたラジカル(ラジカルを含むガス)を、ラジカル導入経路37および開口部28を介して、チャンバ22内に導入(供給)する。絶縁膜16aとして酸化アルミニウム膜を成膜・100元でき、リモートプラズマ生成部38で生成でき、リモートプラズマ化の変素ガス(の2ガス)を用いることができ、リモートのでき、ガスとしては、例えば酸素ガス(の2ガス)を用いることができ、リモールは、反応ガスとしては、例えば酸素ガス(の2ガス)を用いることができ、リモールは含えては、反応ガスとして、上部電極25とステージ24(サセプタ24a)との間の空間27を通って、開口部29から排気されるが、処理対象物23の表面に吸着していた原料ガスの吸着層)がラジカル(ここでは酸素ラジカル)と反応する。これにより、処理対象物23の表面に、原料ガスの吸着層とラジカルとの反応層である酸化アルミニウムの原子層(一層)が形成される。

[0077]

次に、ステップS14(パージステップ)として、チャンバ22内へのラジカル(ラジカルを含むガス)の導入を停止し、パージガス供給部(図示せず)から、パージガス導入経路36および開口部28を介して、チャンバ22内にパージガスを導入(供給)する。パージガスとしては、不活性ガスを好適に用いることができ、窒素ガス(N₂ガス)を用いる場合もあり得る。ステップS12で使用するパージガスと、ステップS14で使用するパージガスとは、互いに同じであってもよい。チャンバ22内にパージガスを導入することで、チャンバ2内のラジカル(ラジカルを含むガス)は、パージガスと一緒に開口部29からチャンバ22外に排気される(パージされる)。開口部28からチャンバ22内に導入されたパージガスは、主として、上部電極25とステージ24(サセプタ24a)との間の空間27を通って、開口部29から排気される。

[0078]

このようなステップS11、ステップS12、ステップS13およびステップS14を

、複数サイクル繰り返すことで、処理対象物23の表面上に、絶縁膜16aを所望の厚さに形成することができる。例えば、ステップS11、ステップS12、ステップS13およびステップS14を、20層の原子層からなる絶縁膜16aが形成され、また、ステップS11、ステップS12、ステップS13およびステップS14を、40サイクル繰り返せば、40層の原子層からなる絶縁膜16aが形成されることになる。

[0079]

なお、ステップS11,S12,S13,S14においては、チャンバ22内の上部電極 2 5 と下部電極(ここではサセプタ24a)との間には高周波電力は印加していない。このため、絶縁膜16a形成工程において、プラズマ(ラジカル)が生成されるのは、チャンバ22内ではなく、チャンバ22外のリモートプラズマ生成部38であり、チャンバ22外のリモートプラズマ生成部38であり、チャンバ22内に導入される。

[0800]

このようにして、絶縁膜16aを形成した後、以下に説明するステップS21、ステップS22、ステップS23およびステップS24を、複数サイクル繰り返すことで、絶縁膜16a上に、絶縁膜16bを所望の厚さに形成することができる。

[0081]

以下、具体的に説明する。

[0082]

まず、ステップS21(原料ガス供給ステップ)として、原料ガス供給部(図示せず)から、原料ガス導入経路33および開口部28を介して、チャンバ22内に原料ガスを導入(供給)する。ステップS21で使用する原料ガスは、上記ステップS11で使用する原料ガスと同様である。開口部28からチャンバ22内に導入された原料ガスは、主として、上部電極25とステージ24(サセプタ24a)との間の空間27を通って、開口部29から排気される。ステップS21を行うと、ステージ24上に配置された処理対象物23の表面(より特定的には処理対象物23の表面に形成された絶縁膜16aの表面)上に、原料ガスの分子が吸着する。すなわち、処理対象物23の表面に、原料ガスの吸着層が形成される。

[0083]

次に、ステップS22(パージステップ)として、チャンバ22内への原料ガスの導入を停止し、パージガス供給部(図示せず)から、パージガス導入経路34および開口部28を介して、チャンバ22内にパージガスを導入(供給)する。ステップS22で使用するパージガスは、上記ステップS12で使用するパージガスと同様である。チャンバ22内にパージガスを導入することで、処理対象物23の表面に吸着していた原料ガス分子(原料ガスの吸着層)は残存するが、それ以外の原料ガス(処理対象物23に吸着していない原料ガス)は、パージガスと一緒に開口部29からチャンバ22外に排出される(パージされる)。開口部28からチャンバ22内に導入されたパージガスは、主として、上部電極25とステージ24(サセプタ24a)との間の空間27を通って、開口部29から排気される。

[0084]

次に、ステップS23(反応ガス供給ステップ)として、反応ガス供給部(図示せず)から、反応ガス導入経路35および開口部28を介して、チャンバ22内に反応ガスを導入(供給)する。反応ガス導入経路35を通って開口部28からチャンバ22内に導入される反応ガスは、プラズマ化されていない反応ガスである。開口部28からチャンバ22内に導入された反応ガスは、主として、上部電極25とステージ24(サセプタ24a)との間の空間27を通って、開口部29から排気される。そして、高周波電源26により、上部電極25に、従って上部電極25とステージ24(より特定的にはサセプタ24a)との間に、高周波電力を印加する。これにより、上部電極25とステージ24(サセプタ24a)との間にプラズマ放電が発生し、空間27の反応ガス(ここでは〇2ガス)は

10

20

30

40

プラズマ化して、反応ガスにラジカル(活性種)が生成され、処理対象物23の表面に吸着していた原料ガス分子(原料ガスの吸着層)が反応ガス(反応ガス中のラジカル)と反応する。これにより、処理対象物23の表面に、原料ガスの吸着層と反応ガス(反応ガス中のラジカル)との反応層である酸化アルミニウムの原子層(一層)が形成される。

[0085]

なお、ステップS23で使用する反応ガスは、上記ステップS13で使用する反応ガスと同様であり、絶縁膜16bとして酸化アルミニウム膜を成膜する場合は、反応ガスとしては、例えば酸素ガス(〇₂ガス)を用いることができ、チャンバ2内で反応ガスがプラズマ化されることで生成されるラジカルは、酸素ラジカルである。

[0086]

次に、ステップS24(パージステップ)として、チャンバ22内への反応ガスの導入と上部電極25への高周波電力の印加を停止し、パージガス供給部(図示せず)から、パージガス導入経路36および開口部28を介して、チャンバ22内にパージガスを導入(供給)する。ステップS24で使用するパージガスは、上記ステップS14で使用するパージガスと同様である。チャンバ22内にパージガスを導入することで、チャンバ2内の反応ガスは、パージガスと一緒に開口部29からチャンバ22外に排気される(パージされる)。開口部28からチャンバ22内に導入されたパージガスは、主として、上部電極25とステージ24(サセプタ24a)との間の空間27を通って、開口部29から排気される。

[0087]

このようなステップS21、ステップS22、ステップS23およびステップS24を、複数サイクル繰り返すことで、処理対象物23の表面上に、すなわち絶縁膜16a上に、絶縁膜16bを所望の厚さに形成することができる。例えば、ステップS21、ステップS22、ステップS23およびステップS24を、50サイクル繰り返せば、50層の原子層からなる絶縁膜16bが形成され、また、ステップS21、ステップS22、ステップS23およびステップS24を、100サイクル繰り返せば、100層の原子層からなる絶縁膜16bが形成されることになる。

[0088]

なお、ステップS21,S22,S24においては、チャンバ22内の上部電極25と下部電極(ここではサセプタ24a)との間には高周波電力は印加していないが、ステップS23においては、チャンバ22内の上部電極25と下部電極(ここではサセプタ24a)との間に高周波電力を印加する。また、ステップS21,S22,S23,S24においては、リモートプラズマ生成部38ではプラズマを生成せず、リモートプラズマ生成部38から開口部28を介してチャンバ22内へは、プラズマ(ラジカル)を導入していない。このため、絶縁膜16b形成工程において、プラズマ(ラジカル)が生成されるのは、チャンバ22外のリモートプラズマ生成部38ではなく、チャンバ22内(より特定的には上部電極25とサセプタ24aとの間の空間27)である。ステップS23では、チャンバ22内に反応ガスを供給し、チャンバ22内でその反応ガスのプラズマを生成する。

[0089]

また、ステップS11で用いる原料ガスとステップS21で用いる原料ガスとを互いに同じ(酸化アルミニウム膜を形成する場合はTMAガス)にし、ステップS13で用いる反応ガスとステップS23で用いる反応ガスとを互いに同じ(酸化アルミニウム膜を形成する場合は酸素ガス)にすることで、絶縁膜16aの構成元素と絶縁膜16bの構成元素とを互いに同じにすることができる。

[0090]

このようにして、絶縁膜16bが形成される。これにより、処理対象物23上に、絶縁膜16aと絶縁膜16a上の絶縁膜16bとからなる保護膜16を形成することができる

[0091]

10

20

30

チャンバ 2 2 内のステージ 2 4 (サセプタ 2 4 a)上に配置された処理対象物 2 3 上への保護膜 1 6 の形成が終了したら、処理対象物 2 3 は、成膜装置 2 1 のチャンバ 2 2 内からチャンバ 2 2 外に搬出され、次の工程に送られる。

[0 0 9 2]

< 検討の経緯について >

有機EL素子は、水分に弱いため、有機EL素子を覆うように保護膜(水分保護膜)を形成して、有機EL素子への水分の伝達を防ぐことが望ましい。この保護膜には、水分の侵入を防止する効果が高い無機絶縁膜を用いることが望ましい。また、有機EL素子は高温に弱いため、保護膜の成膜温度は、有機EL素子に悪影響を及ぼさないように、比較的低温であることが好ましく、従って、保護膜としては、比較的低温度で成膜が可能な材料膜を用いることが好ましい。

[0093]

ところで、本発明者は、有機 E L 素子を形成する基板として、フレキシブル基板を用いることを検討している。フレキシブル基板は、可撓性を有しているため、折り曲げることが可能である。有機 E L 表示装置の基板としてフレキシブル基板を用いれば、その表示装置の折り曲げが可能になる。

[0094]

フレキシブル基板を用いる場合は、フレキシブル基板と一緒に保護膜も折り曲げられることになるため、保護膜においても折り曲げ耐性が重要になる。しかしながら、無機絶縁膜は、保護膜(水分保護膜)としては優れているが、樹脂膜などに比べて硬い材料であるため、基板としてフレキシブル基板を用いる場合には、曲げに伴って無機絶縁膜からなる保護膜にクラックが生じるリスクがある。すなわち、フレキシブル基板を小さな折り曲げ半径で折り曲げられることになり、その曲げに伴って保護膜にクラックが発生するリスクがある。保護膜にクラックが発生するリスクがある。保護膜にクラックが発生するリスクがある。保護膜にクラックが発生するリスクがある。保護膜にクラックが発生しまうと、そのクラックを通じて有機EL素子側へ水分が侵入してしまい、その水分が有機EL素子に伝達され、有機EL素子の劣化を引き起こす虞がある。これは、有機EL素子の信頼性の低下や、有機EL素子を用いた表示装置(有機EL表示装置)の信頼性の低下につながってしまう。

[0095]

そこで、保護膜の厚さを薄くすることで、保護膜の折り曲げ耐性を向上させることが考えられる。保護膜の厚さを薄くすれば、保護膜の折り曲げ耐性が向上し、折り曲げに伴う保護膜のクラックが生じにくくなる。

[0096]

なお、保護膜の折り曲げ耐性とは、折曲げ試験に対する耐久性に対応しており、また、 折曲げ試験とは、折り曲げ動作を多数回繰り返す試験に対応している。折り曲げ動作を多 数回繰り返しても、保護膜にクラックなどの不具合が生じなければ、保護膜の折り曲げ耐 性が向上したと判断することができる。

[0097]

また、本発明者は、有機 E L 素子用の保護膜を、 A L D 法で形成することを検討している。その理由について、図 1 7 ~ 図 1 9 を参照して説明する。図 1 7 ~ 図 1 9 は、パーティクルの付着に関連する課題を説明する説明図(断面図)である。

[0098]

図 1 7 は、保護膜を形成する処理を行う処理対象物 2 3 が示されているが、この処理対象物 2 3 は、上述のように、上記基板 1 0 とパッシベーション膜 1 2 と電極層 1 3 と有機層 1 4 と電極層 1 5 とを合わせたものに対応している。

[0099]

図17には、保護膜を形成する直前の段階での処理対象物23が示されているが、この段階で、図17に示されるように、処理対象物23の表面にパーティクル(粒子、異物)41が付着している場合がある。例えば、保護膜形成前の種々の工程(例えば成膜工程)に起因して発生したパーティクル41が処理対象物23に付着する場合や、あるいは、保

10

20

30

40

20

30

40

50

護膜形成用の成膜装置に処理対象物23を搬送して保護膜の成膜を開始するまでにその成膜装置内に存在していたパーティクル41が処理対象物23に付着する場合などがあり得る。処理対象物23の表面にパーティクル41が付着するのを完全に防止することは容易ではない。このため、製造工程を管理しやすくし、有機EL表示装置などを製造しやすくするためには、処理対象物23の表面にパーティクル41がある程度付着するのを許容して、保護膜を形成することが望まれる。

[0100]

図18および図19は、図17のようにパーティクル41が付着している処理対象物23に対して保護膜を形成した状態が示されている。図18および図19のうち、図18は、CVD法で保護膜42を形成した場合が示され、図19は、ALD法で保護膜43を形成した場合が示されている。なお、保護膜42および保護膜43は、本実施の形態の保護膜16に相当するものである。

[0101]

処理対象物23にパーティクル41が付着した状態で、СVD法を用いて保護膜42を 形 成 した 場 合 に は 、 処 理 対 象 物 2 3 の 表 面 と 、 処 理 対 象 物 2 3 に 付 着 し て い る パ ー テ ィ ク ル41の表面とに保護膜42が形成される。しかしながら、CVD法を用いて保護膜42 を形成した場合には、図18に示されるように、処理対象物23の表面およびパーティク ル 4 1の表面のうち、パーティクル 4 1で遮蔽される領域には保護膜 4 2は形成されにく くなってしまうため、処理対象物23とパーティクル41との接着領域の近傍では、保護 膜42が形成されなくなってしまう。このため、保護膜42を形成した後にパーティクル 41が脱落して不具合を生じる虞がある。例えば、保護膜42を形成した後にパーティク ル 4 1 が 脱 落 し て し ま う と 、 パ ー テ ィ ク ル 4 1 が 脱 落 し た 箇 所 で は 、 保 護 膜 4 2 が 形 成 さ れていないため、そこから水分が侵入してしまい、その水分が有機EL素子に伝達されて 有機EL素子の劣化を引き起こす虞がある。これは、有機EL素子の信頼性の低下や、有 機EL素子を用いた表示装置(有機EL表示装置)の信頼性の低下につながってしまう。 CVD法を用いて保護膜42を形成した場合には、パーティクル41の脱落を防ぐために は、保護膜42をかなり厚くする必要があるが、保護膜42を厚くしてしまうと、フレキ シ ブ ル 基 板 と 一 緒 に 保 護 膜 4 2 も 折 り 曲 げ た 際 に 、 保 護 膜 4 2 に ク ラ ッ ク が 発 生 す る リ ス クが高くなってしまう。

[0102]

処理対象物23にパーティクル41が付着した状態で、ALD法を用いて保護膜43を形成した場合には、処理対象物23の表面と、処理対象物23に付着しているパーティクル41の表面とに保護膜43が形成される。ALD法は、形成する膜の下地に対するカバレッジに優れた成膜法であるため、ALD法を用いて保護膜43を形成した場合には、の理対象物23の表面およびパーティクル41の表面のうち、パーティクル41で遮蔽される領域にも保護膜43を形成しやすくなり、処理対象物23の表の近傍でも、保護膜43を形成することができる。するに、図19のように、保護膜43は、パーティクル41が付着した処理対象物23の表面をであるに形成されるとともに、パーティクル41が付着した処理対象物23の表面をであるに形成されるとともに、パーティクル41の表面全体が保護膜43で覆われため、パーティクル41の表面を覆う保護膜43と、処理対象物23の表面をであるに、パーティクル41は脱落しにくくなるため、パーティクル41は脱落しにくくなるによって保持され、パーティクル41は脱落しにくくなるため、パーティクル41の脱落に伴う不具合は生じにくくなる。

[0103]

このため、CVD法を用いて保護膜42を形成した場合に比べて、ALD法を用いて保護膜43を形成した場合の方が、保護膜の厚さを薄くすることができ、それによって、フレキシブル基板と一緒に保護膜も折り曲げた際に、保護膜にクラックが発生するリスクを低くすることができる。

[0104]

このため、本発明者は、保護膜をALD法で形成することを検討しており、特にプラズ

マALD法で形成することを検討している。プラズマALD法は、比較的低温での成膜が可能であるため、高温に弱い有機EL素子が形成された後に形成する必要がある保護膜の成膜法としても適している。

[0 1 0 5]

図20は、本発明者が検討した第1検討例の表示装置の要部断面図であり、上記図3に相当する断面が示されている。図20の第1検討例において、保護膜116は、本実施の形態の保護膜16に相当するものであるが、本実施の形態とは異なり、保護膜116全体が、ダイレクトプラズマALD法によって形成されている。すなわち、保護膜116は、ダイレクトプラズマALD法によって形成された1つの絶縁膜だけで構成されており、上記絶縁膜16aに相当するものは、図20の第1検討例では形成されていない。

[0106]

しかしながら、本発明者が検討したところ、図20の第1検討例の場合は、次のような課題が生じることが分かった。

[0 1 0 7]

すなわち、図20の第1検討例の場合は、ダイレクトプラズマALD法により保護膜116を形成する際に、有機EL素子がダメージを受けてしまう虞がある。なぜなら、ダイレクトプラズマALD法では、上部電極と下部電極との間に処理対象物を配置した状態で、上部電極と下部電極との間に高周波電力を印加してプラズマ放電を発生させるため、生成されたプラズマ中の電子やイオンが処理対象物に衝突して、物理的な衝撃を与えるからである。この物理的な衝撃により、有機EL素子がダメージを受けてしまう虞がある。ダイレクトプラズマALD法により保護膜116を形成する際に有機EL素子がダメージを受けてしまうと、表示装置の信頼性が低下してしまう虞がある。例えば、有機EL素子のダメージは、表示装置のダークスポットの原因となる可能性がある。

[0108]

< 主要な特徴と効果について >

本実施の形態の主要な特徴のうちの一つは、基板11としてフレキシブル基板を用いたことである。本実施の形態の主要な特徴のうちの他の一つは、無機絶縁材料からなる保護膜16が、リモートプラズマALD法により形成された絶縁膜16aと、絶縁膜16a上にダイレクトプラズマALD法により形成された絶縁膜16bとを有する積層膜からなることである。

[0109]

本実施の形態では、保護膜16をプラズマALD法で形成している。このため、処理対象物23に上記パーティクル41が付着した状態で保護膜16を形成する場合でも、その保護膜16はプラズマALD法で形成されるため、上記図19を参照して説明した理由により、保護膜16の形成後は、パーティクル41は保護膜16によって保持され、パーティクル41の脱落を防止することができる。これにより、パーティクル41の脱落に伴う不具合を防止することができるため、有機EL素子の信頼性を向上させることができ、また、有機EL素子を用いた表示装置の信頼性を向上させることができる。なお、処理対象物23にパーティクル41が付着した状態で保護膜16をALD法で形成した場合も、上記図19の状態と同じになる。

[0110]

しかしながら、本実施の形態とは異なり、上記図20の第1検討例のように、保護膜116全体をダイレクトプラズマALD法により形成した場合には、上述したように、保護膜116を形成する際に有機EL素子がダメージ(電子やイオンによる物理的衝撃に起因したダメージ)を受けてしまう虞がある。

[0111]

それに対して、本実施の形態では、保護膜16の最下層は、ダイレクトプラズマALD 法ではなくリモートプラズマALD法により形成された絶縁膜16aである。リモートプ ラズマALD法により絶縁膜16aを形成しているため、絶縁膜16aを形成する際に、 有機EL素子にはダメージが生じずに済む。なぜなら、リモートプラズマALD法では、 10

20

30

40

20

30

40

50

プラズマ放電空間に処理対象物が配置されるのではなく、チャンバの外部で生成されたプラズマをチャンパの内部に導入しているため、プラズマ中の電子やイオンが処理対象物に衝突して物理的な衝撃を与えてしまうのを防止できるからである。つまり、ダイレクトプラズマALD法による成膜では、処理対象物に対して電子やイオンにより物理的衝撃が加わってしまうが、リモートプラズマALD法による成膜では、処理対象物に対してそのような物理的衝撃は加わらずに済む。このため、本実施の形態では、リモートプラズマALD法を用いて絶縁膜16aを形成することで、絶縁膜16aを形成する際に、有機EL素子に電子やイオンの物理的衝撃が加わるのを防止することができ、それによって、有機EL素子にダメージが生じるのを防止することができる。

[0112]

図21は、本発明者が検討した第2検討例の表示装置の要部断面図であり、上記図3や図20に相当する断面が示されている。図21の第2検討例において、保護膜216は、本実施の形態の保護膜16に相当するものであるが、本実施の形態とは異なり、保護膜216全体が、リモートプラズマALD法によって形成されている。すなわち、保護膜216は、リモートプラズマALD法によって形成された1つの絶縁膜だけで構成されており、上記絶縁膜16bに相当するものは、図21の第2検討例では形成されていない。

[0113]

図21の第2検討例の場合も、保護膜216をリモートプラズマALD法によって形成しているため、保護膜216を形成する際に、有機EL素子にはダメージが生じずに済む。しかしながら、図21の第2検討例の場合は、保護膜216全体がリモートプラズマALD法によって形成されているため、保護膜216の水分に対するバリア性が低くなり、保護膜216の単位厚さ当たりの水分透過率が高くなってしまう。なぜなら、ダイレクトプラズマALD法に比べて、リモートプラズマALD法では、緻密な膜(密度が高い膜を形成することが困難であるため、水分に対するバリア性の高い膜を形成することが開業であるため、水分に対するバリア性の高い膜を形成することが難しく、形成した膜の単位厚さ当たりの水分透過率が高くなってしまうからである。ダイレクトプラズマALD法に比べて、リモートプラズマALD法では、処理対象物の上方空間におけるプラズマ密度が低いため、成膜に必要なラジカルの密度も低くなり、処理対象物の表面に吸着していた原料ガス分子とラジカルとの反応性が低くなるので、形成される膜の密度(膜密度)が低くなると考えられる。

[0114]

それに対して、本実施の形態では、リモートプラズマALD法によって形成した絶縁膜 1 6 a 上に、ダイレクトプラズマ A L D 法で絶縁膜 1 6 b を形成している。リモートプラ ズマALD法に比べて、ダイレクトプラズマALD法は、緻密な膜を形成することできる ため、水分に対するバリア性の高い膜を形成することができる。すなわち、リモートプラ ズマALD法よりもダイレクトプラズマALD法の方が、単位厚さ当たりの水分透過率が 低い膜を形成することができる。これは、リモートプラズマALD法よりもダイレクトプ ラ ズ マ A L D 法 の 方 が 、 処 理 対 象 物 の 表 面 に 吸 着 し て い た 原 料 ガ ス 分 子 (原 料 ガ ス の 吸 着 層)がラジカルと反応しやすく、より緻密な膜(密度が高い膜)が形成されるからである 。 す な わ ち 、 上 記 ス テ ッ プ S 1 3 よ り も 、 上 記 ス テ ッ プ S 2 3 の 方 が 、 処 理 対 象 物 2 3 の 上方空間(空間27に対応)におけるプラズマ密度(ラジカルの密度)が高くなるため、 処 理 対 象 物 2 3 の 表 面 に 吸 着 し て い た 原 料 ガ ス 分 子 (原 料 ガ ス の 吸 着 層) と ラ ジ カ ル と の 反応性が高くなる。このため、本実施の形態では、リモートプラズマALD法によって形 成された絶縁膜16a上にダイレクトプラズマALD法によって絶縁膜16bを形成する ことで、 絶 縁 膜 1 6 a 上 に 、 絶 縁 膜 1 6 a よ り も 緻 密 (高 密 度) で 水 分 に 対 す る バ リ ア 性 が高い絶縁膜16bを形成することができる。これにより、保護膜16の水分に対するバ リア性を高めることができ、保護膜16の水分の透過率を低くすることができる。本実施 の形態の保護膜16の厚さと上記図21の第2検討例の保護膜216の厚さとが同じであ ると仮定したときに、上記図21の第2検討例の保護膜216よりも、本実施の形態の保 護膜16の方が、水分に対するバリア性が高くなり、すなわち水分の透過率が低くなる。 つまり、単位厚さ当たりの水分透過率は、上記図21の第2検討例の保護膜216よりも (21)

、本実施の形態の保護膜16の方が、低くなる。

[0115]

また、絶縁膜16bは絶縁膜16a上に形成されるため、有機EL素子上に絶縁膜16aが形成された状態で、絶縁膜16a上にダイレクトプラズマALD法で絶縁膜16bを形成することになる。絶縁膜16bをダイレクトプラズマALD法で形成する際には、有機EL素子上には既に絶縁膜16aが存在し、この絶縁膜16aが、電子やイオンの物理的な衝撃に対する緩衝材として機能することができるため、有機EL素子が物理的衝撃によりダメージを受けてしまうのを抑制または防止することができる。

[0116]

上記図20の第1検討例の場合は、ダイレクトプラズマALD法により保護膜116を形成しているため、保護膜116を形成する際に有機EL素子がダメージを受けてしまうことが懸念され、一方、図21の第2検討例の場合は、リモートプラズマALD法により保護膜216の水分に対するバリア性が低くなることが懸念される。本実施の形態では、本実施の形態では、保護膜16の最下層として、リモートプラズマALD法により形成された絶縁膜16aを適用したことにより、絶縁膜16aを形成する際に有機EL素子にダメージが生じるのを防止できる。そして、絶縁膜16aを形成する際に有機EL素子にダメージが生じるのを防止できる。そして、絶縁膜16の水分に対するバリア性を高めることができる。これにより、保護膜16の水分に対するバリア性を高めることができるとともに、保護膜16の水分に対するバリア性を高めることができる。従って、表示装置の信頼性を向上させることができる。

[0117]

本実施の形態の他の特徴について、更に説明する。

[0118]

本実施の形態では、保護膜16を、絶縁膜16aと絶縁膜16bとの積層膜とするとともに、絶縁膜16aと絶縁膜16bのそれぞれの厚さも工夫している。以下、具体的に説明する。

[0119]

本実施の形態では、基板11としてフレキシブル基板を用いているため、保護膜16の折り曲げ耐性を向上させて、折り曲げに伴い保護膜16にクラックが生じないようにすることが望まれる。

[0120]

そこで、保護膜16の厚さを薄くすることで、保護膜の折り曲げ耐性を向上させることが考えられる。保護膜16の厚さを薄くすれば、保護膜16の折り曲げ耐性が向上し、折り曲げに伴う保護膜16のクラックが生じにくくなる。しかしながら、その反面、保護膜16の厚さを薄くすると、その保護膜16を水分が透過しやすくなる。従って、基板11としてフレキシブル基板を用いる場合には、保護膜16の厚さを薄くしても、保護膜16の水分に対するバリア性を確保できるようにすることが望まれる。

[0121]

そこで、本実施の形態では、保護膜16を、リモートプラズマALD法により形成された絶縁膜16aと、ダイレクトプラズマALD法により形成された絶縁膜16bとの積層膜により形成するとともに、絶縁膜16bの厚さ(膜厚)T2を、絶縁膜16aの厚さ(膜厚)T1よりも厚くしている(すなわちT2>T1)。これにより、保護膜16の厚さを薄くしても、保護膜16の水分に対するバリア性を効率的に確保することができる。その理由について、以下に説明する。なお、厚さT1は、図3および図10に示され、厚さT2は、図3および図11に示されている。

[0122]

すなわち、リモートプラズマALD法により形成された絶縁膜16aよりも、ダイレクトプラズマALD法により形成された絶縁膜16bの方が、水分に対するバリア性が高く、単位厚さ当たりの水分の透過率は低い。そこで、本実施の形態では、保護膜16の厚さのうち、絶縁膜16aに配分する厚さよりも、絶縁膜16bに配分する厚さを大きくする

10

20

30

40

20

30

40

50

。つまり、絶縁膜16aの厚さT1よりも、絶縁膜16bの厚さT2を厚くする(T2>T1)。絶縁膜16a,16bのうち、単位厚さ当たりの水分の透過率が低い絶縁膜16bを厚くしたことにより、保護膜16の水分に対するバリア性を高めることができる。また、絶縁膜16a,16bのうち、単位厚さ当たりの水分の透過率が高い絶縁膜16aを薄くしたことにより、保護膜16全体の厚さを抑制することができる。これにより、保護膜16の厚さを抑制しながら、保護膜16の水分に対するバリア性を効率的に確保することができる。

[0123]

つまり、保護膜16の厚さを一定にした場合を仮定する。この場合、絶縁膜16aを厚くして、その分だけ絶縁膜16bを薄くすると、単位厚さ当たりの水分の透過率が低い絶縁膜16bの厚さが薄くなることを反映して、保護膜16全体の水分の透過率が高くなってしまう。一方、絶縁膜16aを薄くして、その分だけ絶縁膜16bを厚くすると、単位厚さ当たりの水分の透過率が低い絶縁膜16bの厚さが厚くなることを反映して、保護膜16全体の水分の透過率を低下させることができる。このため、保護膜16全体の厚さを増加させずに、保護膜16による水分の侵入を防止する効果を効率的に高めるためには、絶縁膜16aを薄くして、その分だけ絶縁膜16bを厚くすることが有効である。それゆえ、絶縁膜16aよりも絶縁膜16bを厚くする(T2>T1)ことが好ましい。

[0124]

また、絶縁膜16bをダイレクトプラズマALD法で形成する際には、絶縁膜16aが、電子やイオンの物理的な衝撃に対する緩衝材として機能し、有機EL素子が物理的衝撃によりダメージを受けてしまうのを抑制または防止することができる。しかしながら、絶縁膜16aの厚さT1が薄すぎると、そのような緩衝材としての機能が低くなり、絶縁膜16bをダイレクトプラズマALD法で形成する際に、有機EL素子が物理的衝撃によりダメージを受けてしまうのを抑制または防止する効果を、十分には得られなくなる虞がある。このため、絶縁膜16aの厚さT1は、絶縁膜16bの厚さT2よりも薄くするが、10nm以上であることが好ましい(すなわちT1 10nm)。絶縁膜16bをダイレクトプラズマALD法で形成する際に、有機EL素子が物理的衝撃によりダメージを受けてしまうのを抑制または防止する効果を、的確に得ることができる。

[0125]

また、絶縁膜16aは絶縁膜16bに比べて単位厚さ当たりの水分の透過率が高いことから、絶縁膜16aの厚さT1は、絶縁膜16bをダイレクトプラズマALD法で形成する際に有機EL素子が物理的衝撃によりダメージを受けてしまうのを防止できる厚さを確保すれば、あまり厚くさせ過ぎない方が、保護膜16全体の厚さを抑制する観点で有利である。このため、絶縁膜16aの厚さT1は、20nm以下(T1 20nm)であることが、より好ましい。このため、絶縁膜16aの厚さT1は、10~20nmがより好ましい。

[0126]

また、基板11としてフレキシブル基板を用いた場合、フレキシブル基板(表示装置)を小さな折り曲げ半径で折り曲げたときでも、保護膜16にクラックが発生しないようにするためには、保護膜16の厚さを薄くすることが有効であり、保護膜16の厚さを10の水分に対するバリア性が低下することが懸念されるが、本実施の形態では、上述の工夫を行うことにより、保護膜16の厚さを抑制しながら、保護膜16の水分に対するバリア性を的できる。このため、本実施の形態を適用すれば、保護膜16の水分に対するバリア性を的確に確保しながら、保護膜16の厚さを薄くすることができる、の水分に対するバリア性を的確に確保しながら、保護膜16の厚さを薄くすることができるが100mm以下であることは、絶縁膜16aの厚さT1と絶縁膜16の厚さT2との合計が100mm以下(すなわちT1+T2

0 n m) であることに対応している。

[0127]

また、本実施の形態とは異なり、絶縁膜16aに相当するものと、絶縁膜16bに相当するものとが、異なる材料により構成されている場合を仮定する。この場合、絶縁膜16aに相当するものを形成するためのチャンバ(成膜容器)と、絶縁膜16bに相当するものを形成するチャンバ(成膜容器)とを、別々に用意する必要があり、従って、保護膜の形成工程の途中で処理対象物を2つのチャンバ間で移動させる必要がある。この場合、保護膜を形成するのに要する時間が長くなり、スループットが低下してしまう。

[0128]

それに対して、本実施の形態では、保護膜16を構成する絶縁膜16aと絶縁膜16bとは、構成元素が互いに同じであり、同じ材料により形成されている。すなわち、保護膜16を構成する絶縁膜162年が、同じ材料により形成されている。このため、保護膜16を構成する絶縁膜16aと絶縁膜16bとは、同じ成膜装置21の同じチャンバ22(成膜容器)内で連続的に形成することができる。すなわち、保護膜16の形成を開始する段階から保護膜16の形成を終了するまで、言い換えると、絶縁膜16aの形成を開始する段階から、絶縁膜16bの形成を終了するまでの間、処理対象物23は、上記成膜装置21の上記チャンバ22内に配置されており、従って、大気中にはさらされない。本実施の形態では、保護膜16を構成する絶縁膜16a,16bを、同じチャンバ22内で連続的に形成することができるため、保護膜16の形成に要する時間を短縮することができ、スループットを向上させることができる。

[0129]

また、保護膜16は、全体が同じ材料により形成されているため、上記図20の第1検討例を参照して説明した課題や、上記図21の第2検討例を参照して説明した課題に気付かなければ、保護膜16を絶縁膜16aと絶縁膜16bとに分けることはせず、保護膜16全体を同じ成膜法で形成するはずである。本願発明者は、上記図20の第1検討例を参照して説明した課題や、上記図21の第2検討例を参照して説明した課題に気付いたからこそ、保護膜16を、互いに同じ材料からなる2つの絶縁膜16a,16bに分けるとともに、その絶縁膜16a,16bを、互いに異なる成膜法で形成している。

[0130]

また、有機 E L 素子(特に有機層 1 4)は高温に弱いため、保護膜 1 6 の成膜温度、すなわち絶縁膜 1 6 a および絶縁膜 1 6 b の各成膜温度は、有機 E L 素子(特に有機層 1 4)に悪影響を及ぼさないように、比較的低温であることが好ましく、具体的には、 1 0 0 以下であることが好ましく、例えば 8 0 程度とすることができる。このため、保護膜 1 6 の材料は、水分保護膜としての機能が優れていることと、リモートプラズマALD法を増加して、選択することが望ましい。なお、保護膜 1 6 の材料とは、保護膜 1 6 を構成する絶縁膜 1 6 a および絶縁膜 1 6 b の材料のことである。この観点で、保護膜 1 6 の材料としては、酸化シリコン、酸化シリコン、酸化チタン、酸化ジルコニウム、酸化アルミニウム、酸全化アルミニウムが好ましく、そのうち特に好ましいのは、酸化アルミニウムまたは酸化シリコンである。

[0131]

以上、本発明者によってなされた発明をその実施の形態に基づき具体的に説明したが、本発明は前記実施の形態に限定されるものではなく、その要旨を逸脱しない範囲で種々変更可能であることは言うまでもない。

【符号の説明】

[0132]

- 1 表示装置
- 2 表示部
- 3 回路部
- 9 ガラス基板

20

10

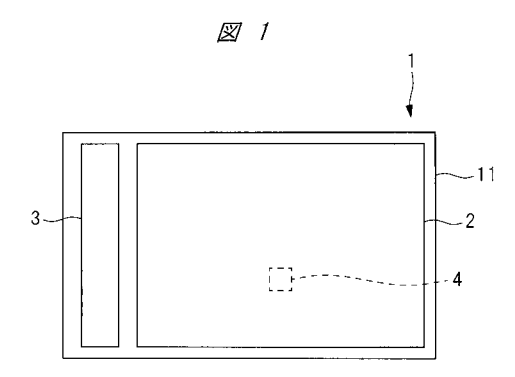
30

- 10 基板
- 1 1 基板
- 12 パッシベーション膜
- 1 3 電極層
- 13,15 電極層
- 13a,15a 電極
- 1 4 有機層
- 16,116,216 保護膜
- 1 6 a , 1 6 b 絶縁膜
- 1 7 絶縁膜
- 2 1 成膜装置
- 22 チャンバ
- 2 2 a 天板部
- 2 2 b 側壁部
- 23 処理対象物
- 2 4 ステージ
- 24a サセプタ
- 2 4 b ステージ本体部
- 2 5 上部電極
- 26 高周波電源
- 2 7 空間
- 28,29 開口部
- 31a,31b 側面
- 3 3 原料ガス導入経路
- 3 4 , 3 6 パージガス導入経路
- 35 反応ガス導入経路
- 3 7 ラジカル導入経路
- 38 リモートプラズマ生成部
- 41 パーティクル
- 4 2 , 4 3 保護膜
- T 1 , T 2 厚さ

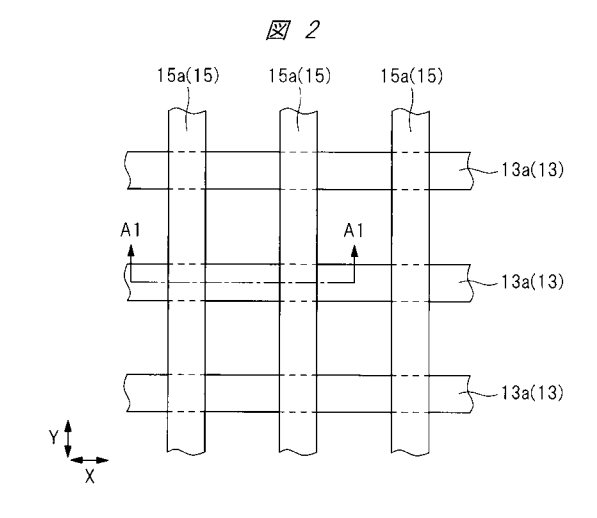
10

20

【図1】



【図2】



【図3】

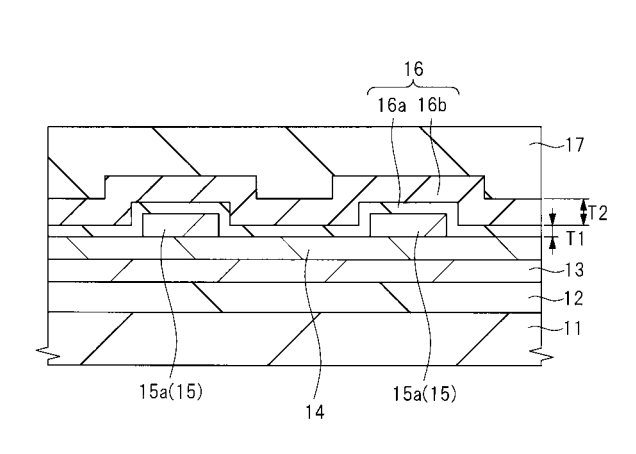


図 3

11:基板 16:保護膜 16a,16b:絶縁膜

【図4】

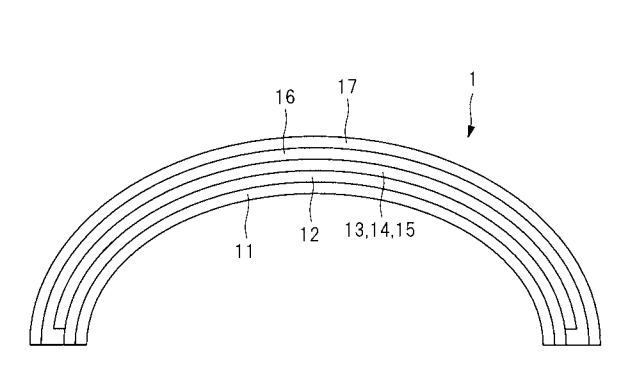
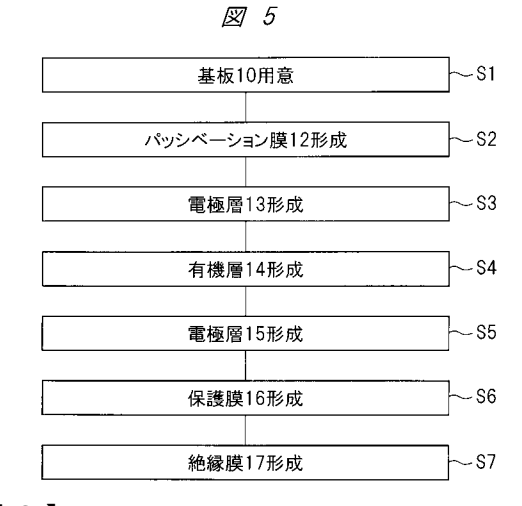


図 4

【図5】



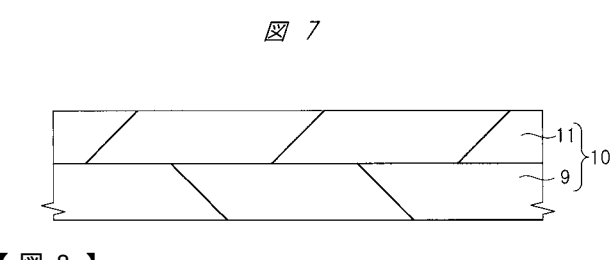
【図6】



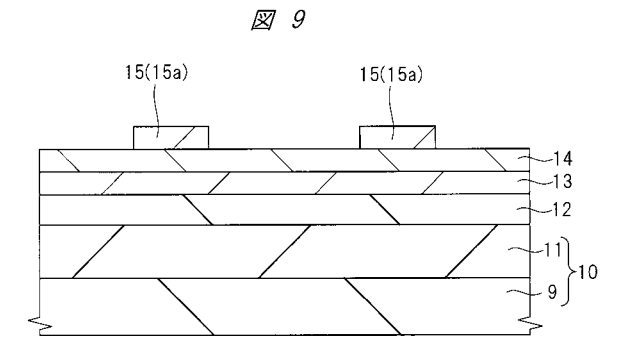
Ø 6

【図7】

【図9】

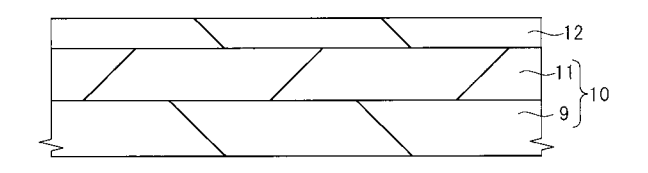


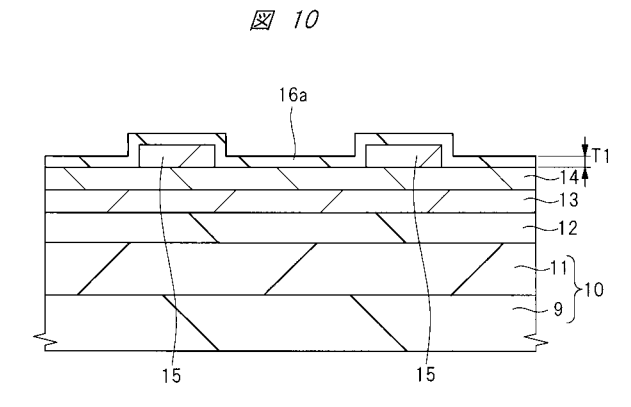
⊠ 8



【図8】

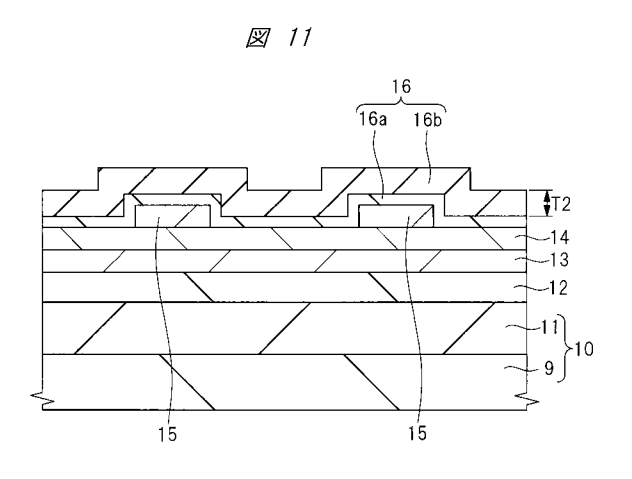
【図10】

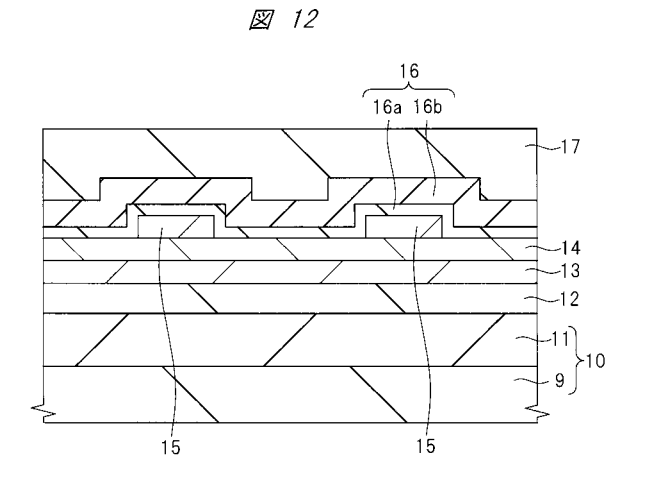




【図11】

【図12】

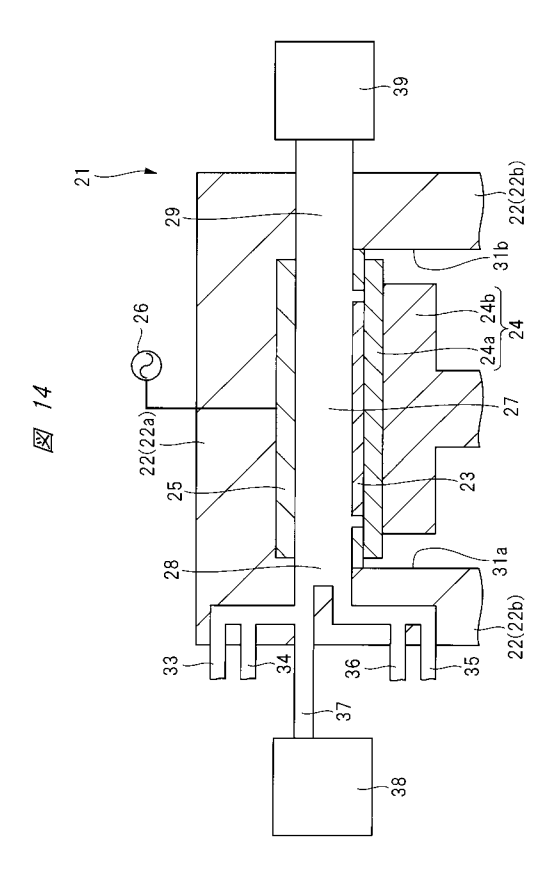




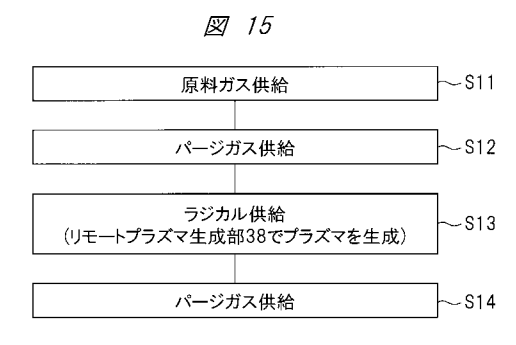
【図13】

15

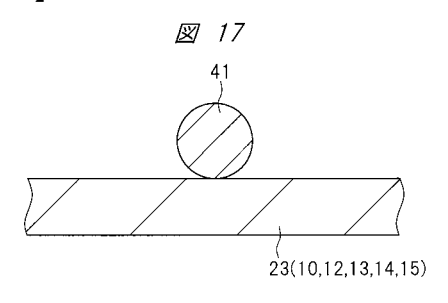
【図14】



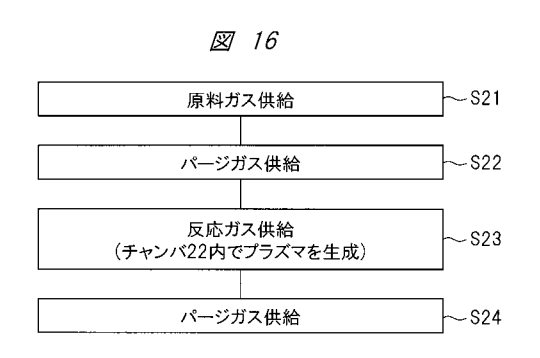
【図15】



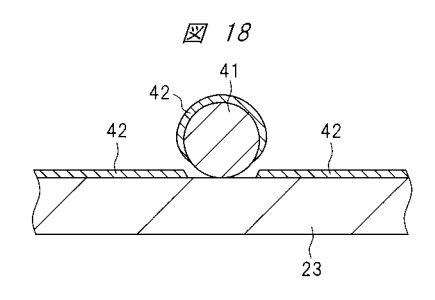
【図17】



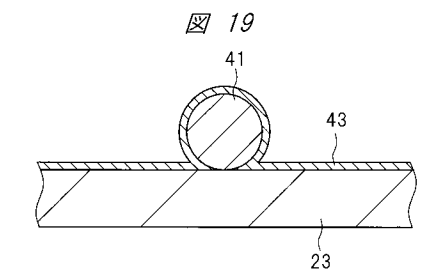
【図16】



【図18】

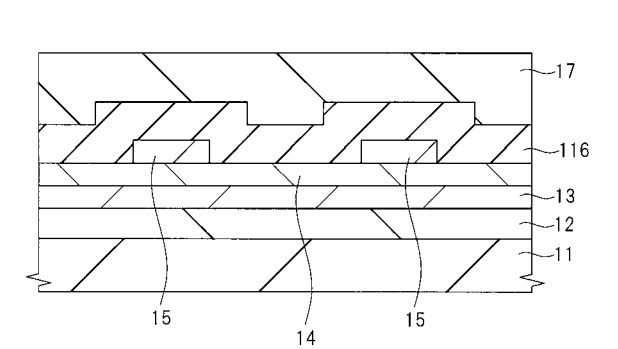


【図19】



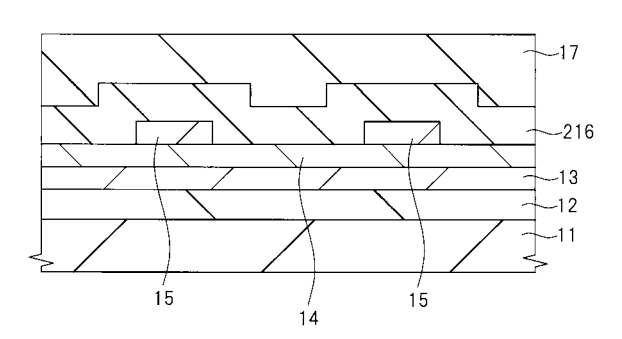
【図20】





【図21】

2 21



フロントページの続き

| (51) Int.CI. | | | | | FΙ | | | | | | テーマコード(参考 |) |
|--------------|----------|------|--------|------|------|---------|------|------|------|------|-----------|---|
| C 2 3 C | 16/42 | (20 | 06.01) | | (| 230 | 16 | /42 | | | | |
| C 2 3 C | 16/40 | (20 | 06.01) | | (| 230 | 16 | /40 | | | | |
| C 2 3 C | 16/44 | (20 | 06.01) | | (| 230 | 16 | /44 | | Α | | |
| G 0 9 F | 9/00 | (20 | 06.01) | | (| G 0 9 F | = 6 | /00 | 3 3 | 8 | | |
| G 0 9 F | 9/30 | (20 | 06.01) | | (| G 0 9 F | = 6 | /30 | 3 6 | 5 | | |
| | | | | | (| G 0 9 F | = 6 | /30 | 3 0 | 8 Z | | |
| | | | | | (| 3 0 9 F | = 0 | /30 | 3 4 | 8 A | | |
| | | | | | | | | | | | | |
| Fターム(参考 | ⋚) 4K030 | AA11 | AA14 | BA02 | BA22 | BA35 | BA40 | BA42 | BA43 | BA44 | BA46 | |
| | | BB12 | CA07 | CA12 | FA01 | HA01 | JA01 | KA30 | LA02 | LA18 | | |
| | 50094 | AA38 | BA27 | DA06 | DA07 | DA15 | FA02 | FB15 | GB01 | JA08 | | |
| | 5G435 | AA13 | BB05 | HH14 | HH18 | KK05 | KK10 | | | | | |



| 专利名称(译) | 显示装置的制造方法及显示装置 | | |
|----------------|--|--|---|
| 公开(公告)号 | <u>JP2020035567A</u> | 公开(公告)日 | 2020-03-05 |
| 申请号 | JP2018159097 | 申请日 | 2018-08-28 |
| [标]申请(专利权)人(译) | 株式会社日本制钢所 | | |
| 申请(专利权)人(译) | 有限公司日本钢铁厂 | | |
| [标]发明人 | 松本竜弥 鷲尾圭亮 | | |
| 发明人 | 松本 竜弥 鷲尾 圭亮 | | |
| IPC分类号 | H05B33/10 H01L27/32 H01L51/5 /00 G09F9/30 | 50 H05B33/02 H05B33/04 C23C | 16/42 C23C16/40 C23C16/44 G09F9 |
| FI分类号 | H05B33/10 H01L27/32 H05B33/ G09F9/00.338 G09F9/30.365 G0 | | 3C16/42 C23C16/40 C23C16/44.A |
| F-TERM分类号 | /DD17 3K107/EE48 3K107/EE50 4K030/BA02 4K030/BA22 4K030/BA46 4K030/BB12 4K030/CA07 4K030/LA02 4K030/LA18 5C094 | 9 3K107/FF15 3K107/GG03 3K10 9/BA35 4K030/BA40 4K030/BA42 7 4K030/CA12 4K030/FA01 4K03 9/AA38 5C094/BA27 5C094/DA06 | 27 3K107/CC33 3K107/CC43 3K107 D7/GG28 4K030/AA11 4K030/AA14 2 4K030/BA43 4K030/BA44 4K030 B0/HA01 4K030/JA01 4K030/KA30 B 5C094/DA07 5C094/DA15 5C094 B5/BB05 5G435/HH14 5G435/HH18 |
| 外部链接 | Espacenet | | |
| | | | |

摘要(译)

解决的问题:提高具有有机EL元件的显示装置的可靠性。 制造具有有机 EL元件的显示装置的方法包括以下步骤:在由柔性基板制成的基板11上形成有机EL元件,以及由无机绝缘材料制成的保护膜16覆盖有机EL元件。 并形成一个步骤。 形成保护膜16的步骤包括使用远程等离子体ALD法形成绝缘膜16a以覆盖有机EL元件的步骤,以及使用直接等离子体ALD法在绝缘膜16a上形成绝缘膜16b的步骤。 和执行的步骤。 保护膜16由包括绝缘膜16a和绝缘膜16b的层压膜形成,并且绝缘膜16a和绝缘膜16b具有相同的构成要素。 [选择图]图3

